

日 標(株) 正員 ○安藤 裕  
 長岡技術科学大学 正員 原田秀樹  
 長岡技術科学大学 正員 桃井清至

1.はじめに 流動層型生物膜反応器を脱窒素プロセスに適用し、实用化のための最適設計、操作方法の体系化を目的として、本反応器の脱窒素処理性能を評価した。本研究では、反応器内の性能を評価する数学的モデルを構築し、本反応器の定常状態基質濃度分布及び非定常状態での反応器流出端の基質濃度変化とベット高の予測値と実測値とを比較することによって、本モデルの適合性を検討した。

2.実験装置および方法 実験装置の概要を図1に示す。高さ400cm、内径3cmで装置上部には、担体数を一定にするために生物膜粒子が流出しないような装置を取り付けてある。流入基質温度は25°Cとし、脱硝存酸素を目的に空気曝気を行ひ、アメノリン酸銅銘度により4に設定した。空素源として1μMg、有機炭素源としてCH<sub>3</sub>OHを用い、(CH<sub>3</sub>OH/NO<sub>3</sub>-N)比は3に維持し、さらに無機塩類を添加した。担体は、粒状活性炭(直径0.329mm、湿润密度1.316g/cm<sup>3</sup>)を用いた。非定常実験は、流入流速度30.84cm/min、流入NO<sub>3</sub>-N濃度46mgNO<sub>3</sub>-N/Lでベット高、流出NO<sub>3</sub>-N、NO<sub>2</sub>-N、SSについて10日間にわたりその経時変化を追い、0.4, 7, 10日目について反応器軸方向NO<sub>3</sub>-N、NO<sub>2</sub>-N濃度プロファイルを測定した。また、回分実験よりNO<sub>3</sub>-NからNO<sub>2</sub>-Nへ還元される時のNO<sub>2</sub>-N除去に伴う増殖収率Y<sub>1</sub>、NO<sub>2</sub>-NからNO<sub>3</sub>-Nへ還元される時のNO<sub>2</sub>-N除去に伴う増殖収率Y<sub>2</sub>、比死滅定数k<sub>d</sub>を測定した。定常実験は、微生物の増殖とハクリを無視できる期間で行ひ、運転条件はRun1, 2, 3において流入流速度一定で流入NO<sub>3</sub>-N濃度を変化させ、Run2, 4, 5は流入NO<sub>3</sub>-N濃度一定で流入流速度を変化させた。測定項目は、反応器軸方向NO<sub>3</sub>-N、NO<sub>2</sub>-N濃度プロファイルである。

### 3.実験結果及び考察

3-1. 非定常状態性能評価 図2に本反応器のモデル概念図を示し、このモデルに使用した非定常状態パラメータを表1に示す。使用パラメーター値はすべて一連の本研究の過程で実測したものであり、文献値は一切使用していない。強制的に割離した分散生物を用いた回分実験よりY<sub>3</sub>=0.34(mg-SS/mg-NO<sub>3</sub>-N), Y<sub>2</sub>=0.38(mg-SS/mg-NO<sub>2</sub>-N), k<sub>d</sub>=0.021/dayと評価された。図3に非定常状態連続実験におけるベット高、流出NO<sub>3</sub>-N、NO<sub>2</sub>-N、SS、流入NO<sub>3</sub>-Nの経時変化を示す。図中の実線は、モデルより求めた流出NO<sub>3</sub>-N、NO<sub>2</sub>-N、ベット高の予測値である。流出NO<sub>3</sub>-N、NO<sub>2</sub>-Nについて0~4日目以降比較的挙動をとうえているが、5日目以降NO<sub>3</sub>-Nでは予測値より実測値より低く、またNO<sub>2</sub>-Nでは予測値より実測値の方が高くなっている。ベット高については、挙動をよくとうえており生物の増殖量の把握が適切と考えられる。

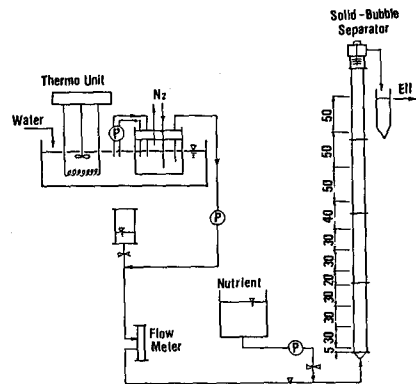


図1. 実験装置概要図

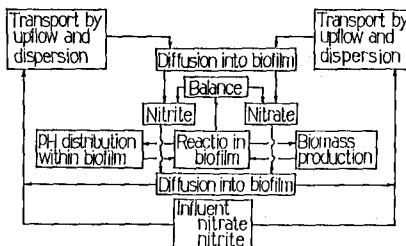


図2. モデル概念図

図4に、0, 4, 7, 10日目の反応器軸方向  $\text{NO}_3^-$ -N,  $\text{NO}_2^-$ -N 濃度プロファイルを示す。図中の実線は、モデルより求めた  $\text{NO}_3^-$ -N,  $\text{NO}_2^-$ -N の予測値である。図3の経時変化と同様に0日目と4日目のプロファイルは比較的予測値と実測値が一致しているが、7日目と10日目ではずれている。この理由としては、モデルに使用した各パラメータ値の不適性と考えられる。しかし、全窒素については一致している。

**3-2. 定常状態性能評価** 定常状態は、図2のモデルの概念図から生物増殖の項を除いたものである。表2に定常状態パラメータを示す。図5に  $\text{NO}_3^-$ -N,  $\text{NO}_2^-$ -N の反応器軸方向濃度プロファイルを示す。Run1/～5と  $\text{NO}_3^-$ -Nについて予測値が実測値より過小評価となり、 $\text{NO}_2^-$ -Nについては予測値が実測値の方が高めになっている。しかし、全窒素の除去量は一致している。全窒素に対する容積負荷で 2.73～5.23 ( $\text{kg}/\text{m}^3\text{day}$ ) を許容している。

**4.まとめ 比較的長いタイマスケールの本反応器脱窒素性能アセスメントの江河調査を行い、反応器アセスメントの導動傾向を予測するのに成功した。特にベット高と全窒素に対し本モデルは有効と思われる。また、定常状態流動層型生物膜反応器の性能評価を行な**

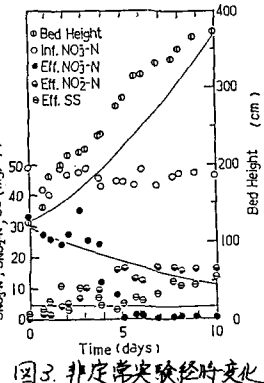


図3. 非定常実験経時変化

1) 全窒素と對比して  
は、本モデルは有効  
と思われる。

**参考文献**  
1) 宇賀、桃井、原因、浅野  
“流動層型生物膜反応器における脱窒素構成について”  
第2回土木学会新泻大会  
研究調査発表会  
論文集 P38-39 (1994)

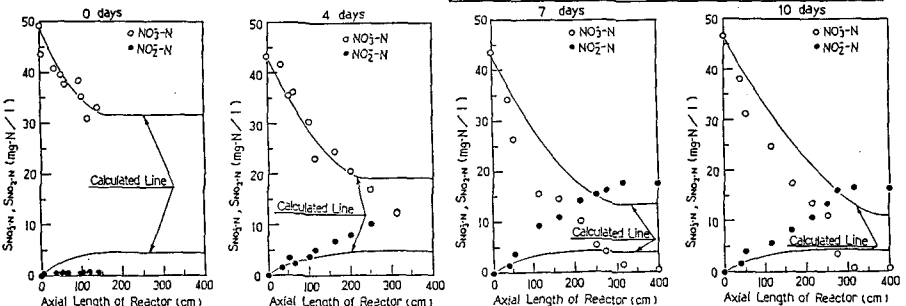


図4. 非定常実験 軸方向濃度プロファイル

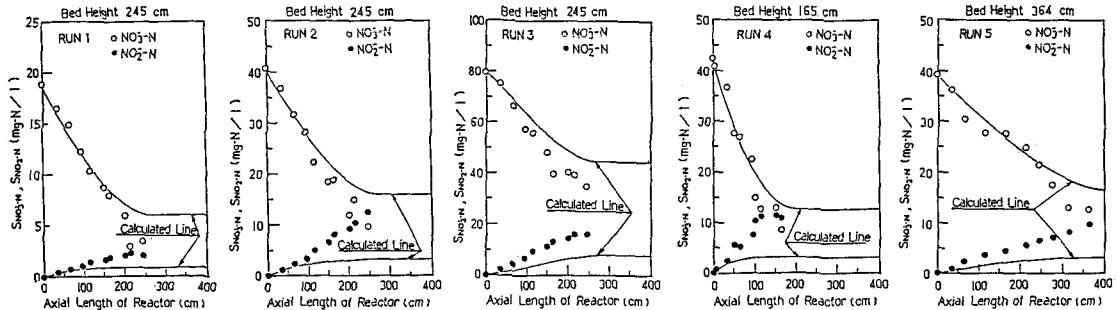


図5. 定常実験 軸方向濃度プロファイル

表1. 非定常状態使用パラメーター表

$\text{Sp}, \text{NO}_3^--\text{N}, 0 = 46 (\text{mg } \text{NO}_3^-=\text{N}/\text{l})$ : Influent $\text{NO}_3^--\text{N}$ concentration
$\text{Sp}, \text{NO}_2^--\text{N}, 0 = 0 (\text{mg } \text{NO}_2^-=\text{N}/\text{l})$ : Influent $\text{NO}_2^--\text{N}$ concentration
$d_p = 0.2024 (\text{cm})$ : Diameter of bioparticle
$L = 30.84 (\text{cm}/\text{min})$ : Linear velocity
$d_m = 0.0329 (\text{cm})$ : Diameter of supporting media
$\rho_m = 1.316 (\text{g}/\text{cm}^3)$ : Media density
$D_t = 3 (\text{cm})$ : Reactor diameter
$pH = 7$
$C_{\text{HCO}_3^-} = 494.7 (\text{mg}/\text{l})$ : Influent $\text{HCO}_3^-$ concentration
$C_{\text{CO}_3^{2-}} = 0.229 (\text{mg}/\text{l})$ : Influent $\text{CO}_3^{2-}$ concentration
$D_{\text{S}_3} = 9.53 \times 10^{-6} (\text{cm}^2/\text{sec})$ : Diffusion coefficient of nitrate within biofilm
$D_{\text{S}_2} = 9.53 \times 10^{-6} (\text{cm}^2/\text{sec})$ : Diffusion coefficient of nitrite within biofilm
$d_1 = 1.045 (-)$ : Ratio of diffusivity( $\text{HCO}_3^-/\text{NO}_3^-$ )
$d_2 = 0.987 (-)$ : Ratio of diffusivity( $\text{CO}_3^{2-}/\text{NO}_3^-$ )
$\rho_{\text{bd}} = 1.3 (\text{g}/\text{cm}^3)$ : Dry biofilm density
$\rho_f = 0.99793 (\text{g}/\text{cm}^3)$ : Liquid density
$\mu_f = 0.065 \times 10^{-3} (\text{g}/\text{cm} \cdot \text{sec})$ : Liquid viscosity
$K_{\text{S}_3} = 4.578 (\text{mg}/\text{l})$ : Michaelis constant of nitrate
$K_{\text{S}_2} = 6.321 (\text{mg}/\text{l})$ : Michaelis constant of nitrite
$K_{\text{I}_3} = 153.1 (\text{mg}/\text{l})$ : Inhibition constant of nitrate
$K_{\text{I}_2} = 45.79 (\text{mg}/\text{l})$ : Inhibition constant of nitrite
$V_{\text{m}_3} = 25.84 (\text{mg } \text{NO}_3^-=\text{N}/\text{g} \cdot \text{vss} \cdot \text{hr})$ : Maximum rate of nitrate consumption
$V_{\text{m}_2} = 42.88 (\text{mg } \text{NO}_2^-=\text{N}/\text{g} \cdot \text{vss} \cdot \text{hr})$ : Maximum rate of nitrite consumption
$Y_{\text{d}} = 0.34 (\text{mg ss/mg } \text{NO}_3^-=\text{N})$ : Growth yield on nitrate
$Y_{\text{d}} = 0.38 (\text{mg ss/mg } \text{NO}_2^-=\text{N})$ : Growth yield on nitrite
$k_a = 0.021 (\text{day}^{-1})$ : Auto-reduction coefficient
$P_0 = 1.72 (\text{mg ss/l})$ : Detached biomass

表2. 定常状態 使用パラメーター表

$d_p = 0.3312 (\text{cm})$ : Diameter of bioparticle
$d_m = 0.0329 (\text{cm})$ : Diameter of supporting media
$\rho_m = 1.316 (\text{g}/\text{cm}^3)$ : Media density
$D_t = 3 (\text{cm})$ : Reactor diameter
$pH = 7$
$C_{\text{HCO}_3^-} = 494.7 (\text{mg}/\text{l})$ : Influent $\text{HCO}_3^-$ concentration
$C_{\text{CO}_3^{2-}} = 0.229 (\text{mg}/\text{l})$ : Influent $\text{CO}_3^{2-}$ concentration
$D_{\text{S}_3} = 9.53 \times 10^{-6} (\text{cm}^2/\text{sec})$ : Diffusion coefficient of nitrate within biofilm
$D_{\text{S}_2} = 9.53 \times 10^{-6} (\text{cm}^2/\text{sec})$ : Diffusion coefficient of nitrite within biofilm
$d_1 = 1.045 (-)$ : Ratio of diffusivity( $\text{HCO}_3^-/\text{NO}_3^-$ )
$d_2 = 0.987 (-)$ : Ratio of diffusivity( $\text{CO}_3^{2-}/\text{NO}_3^-$ )
$\rho_{\text{bd}} = 1.3 (\text{g}/\text{cm}^3)$ : Dry biofilm density
$\rho_f = 0.99793 (\text{g}/\text{cm}^3)$ : Liquid density
$\mu_f = 0.065 \times 10^{-3} (\text{g}/\text{cm} \cdot \text{sec})$ : Liquid viscosity
$K_{\text{S}_3} = 4.578 (\text{mg}/\text{l})$ : Michaelis constant of nitrate
$K_{\text{S}_2} = 6.321 (\text{mg}/\text{l})$ : Michaelis constant of nitrite
$K_{\text{I}_3} = 153.1 (\text{mg}/\text{l})$ : Inhibition constant of nitrate
$K_{\text{I}_2} = 45.79 (\text{mg}/\text{l})$ : Inhibition constant of nitrite
$V_{\text{m}_3} = 25.84 (\text{mg } \text{NO}_3^-=\text{N}/\text{g} \cdot \text{vss} \cdot \text{hr})$ : Maximum rate of nitrate consumption
$V_{\text{m}_2} = 42.88 (\text{mg } \text{NO}_2^-=\text{N}/\text{g} \cdot \text{vss} \cdot \text{hr})$ : Maximum rate of nitrite consumption

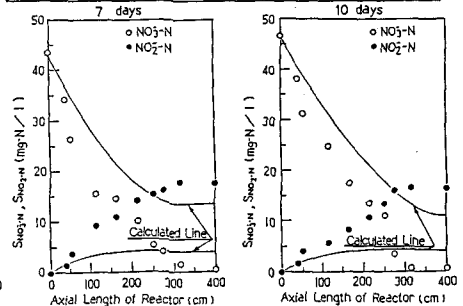


図5. 定常実験 軸方向濃度プロファイル